LIERB.

ASTEROMELLA

REEXAME DE ALGUNS TAXA

por

A. CHAVES BATISTA & G. E. P. PERES

270

SEPARATA DE
MEMÓRIAS DA SOCIEDADE BROTERIANA
VOLUME XIV

MAIO
1961

With the Compliments
of Chaves Batista

ASTEROMELLA
REEXAME DE ALGUNS TAXA

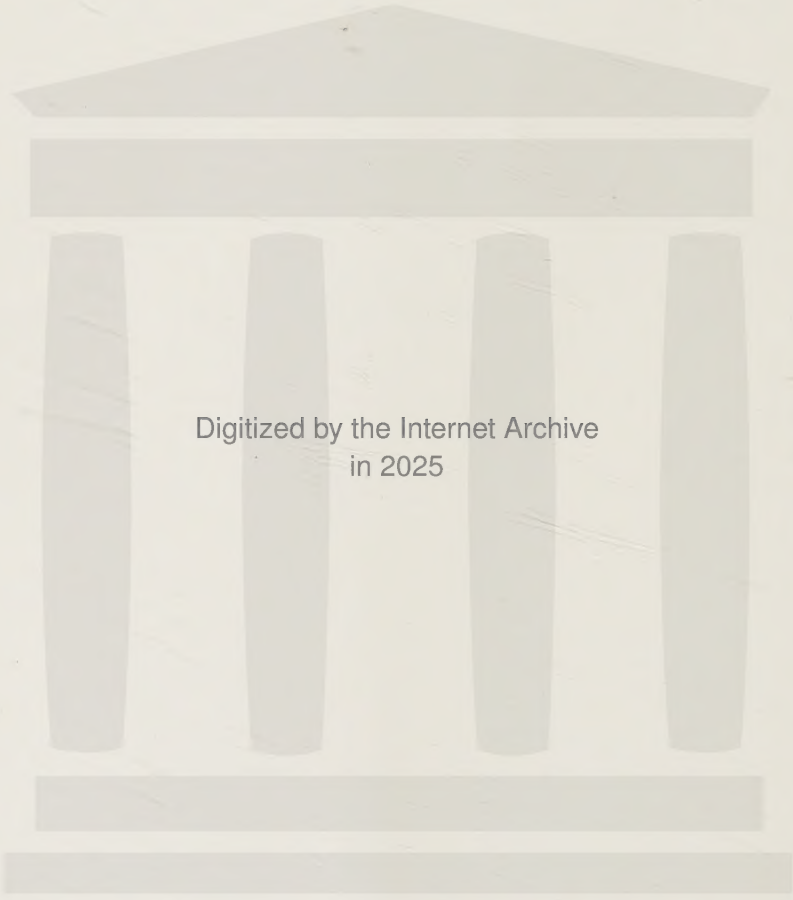

Digitized by the Internet Archive
in 2025

https://archive.org/details/publicacao-instituto-de-micologia_1961_270

ASTEROMELLA

REEXAME DE ALGUNS TAXA

por

A. CHAVES BATISTA & G. E. P. PERES

SEPARATA DE
MEMÓRIAS DA SOCIEDADE BROTERIANA
VOLUME XIV

MAIO
1961

Composição e impressão das Oficinas
da Tip. Alcobacense, Lt. — Alcobaça

ASTEROMELLA

REEXAME DE ALGUNS TAXA (*)

por

A. CHAVES BATISTA & G. E. P. PERES

Instituto de Micologia, Universidade do Recife, Brasil

CONTINUAMOS, com o presente trabalho, os estudos de revisão de taxa do género *Asteromella* Pass. & Thüm., dando sequência, assim, às investigações que, sôbre o assunto, estamos realizando (Saccardoa, **1**: 17-29, 1960).

As espécies que, agora, foram revistas, as apreciamos sôbre material de herbário procedente, na sua quase totalidade, do Termeszettudomanyi Novenytar Muzeum, da Hungria.

Devemos, dêsse modo, aos ilustres micólogos, Dr. BOHUS GABOR e Dr. S. TOTH, daquela Instituição, a melhor colaboração, pelo que lhes consignamos os nossos sinceros agradecimentos.

Asteromella aesculicola (Sacc.) Petr.
in Sydowia, **10**: 266, 1957
Sin.: *Phyllosticta aesculicola* Sacc.
in Syll. Fung., **3**: 4, 1884

Máculas abundantes, anfígenas, marron, isoladas ou confluentes, de 1-4 mm de diam. Picnostromas hipófilos, marron (fig. 1), subglobosos, 87.5-165 μ de diam.; paredes de 8-10 μ de diam., pseudo-parenquimáticas, formadas por *X* camadas de células irregulares, de 3-5 $\times$ 2-3.5 μ; ostíolo punctiforme. Himénio geral. Conidióforos septados, hialinos, pseudo-ramificados, 8.5-16 $\times$ 2-3 μ. Picnidiosporos bacilares, contínuos, hialinos, acropleurógenos, soltos, depois, em massa, no lóculo picnidial, 4-6 $\times$ 1.5.

(*) Publicação n.º 270 do Instituto de Micologia da Universidade do Recife, Brasil.

Sôbre folhas de *Aesculus hypocastanum* L., associado a *Septoria aesculi* (Lib.) Westd. Nagykovácsi, Budapest, Hungria. VIII. 1939, Dr. G. Moesz. Espec. 17489, IMUR e, também, no Termeszettudomanyi Novenytar Muzeum, Hungria.

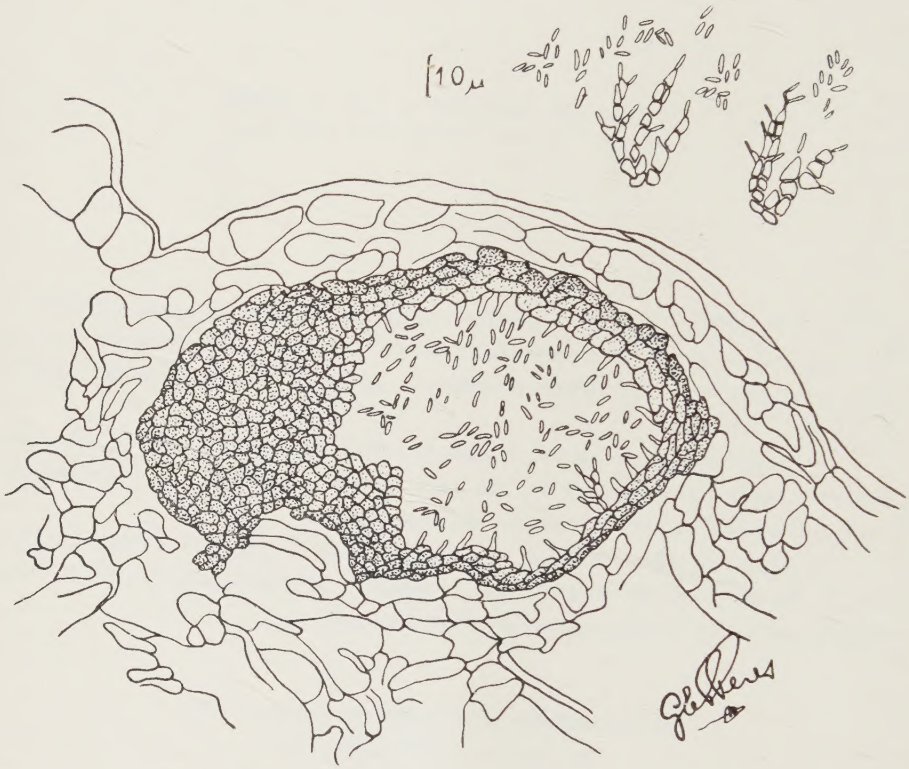

Fig. 1. — *Asteromella aesculicola* (Sacc.) Petr.

Asteromella angelicae (Sacc.) Moesz
Sin.: *Phyllosticta angelicae* Sacc.
in Syll. Fung., **3**: 46, 1884
Michelia, **2**: 620

Máculas anfígenas, marron-negras, isoladas, de 1 mm de diam., agrupadas ou confluentes. Micélio livre ausente. Micélio intramatrical, sub-oliváceo, ± abundante, parcamente ramificado; hifas septadas, tendo células de 10-14 × 2-4 μ. Picnostromas hipófilos, imersos, densamente agregados, marron, subglobosos, 80-95 μ de diam., ostiolados, com papila

irrompendo à cutícula foliar; paredes de contextura frouxa, prosenquimáticas, tendo células subrectangulares, de 4-6 × 3.5-4 μ. Conidióforos não observados. Picnidiosporos oblongos, contínuos, minutíssimos, 2-4 × 1-1.5 μ (fig. 2).

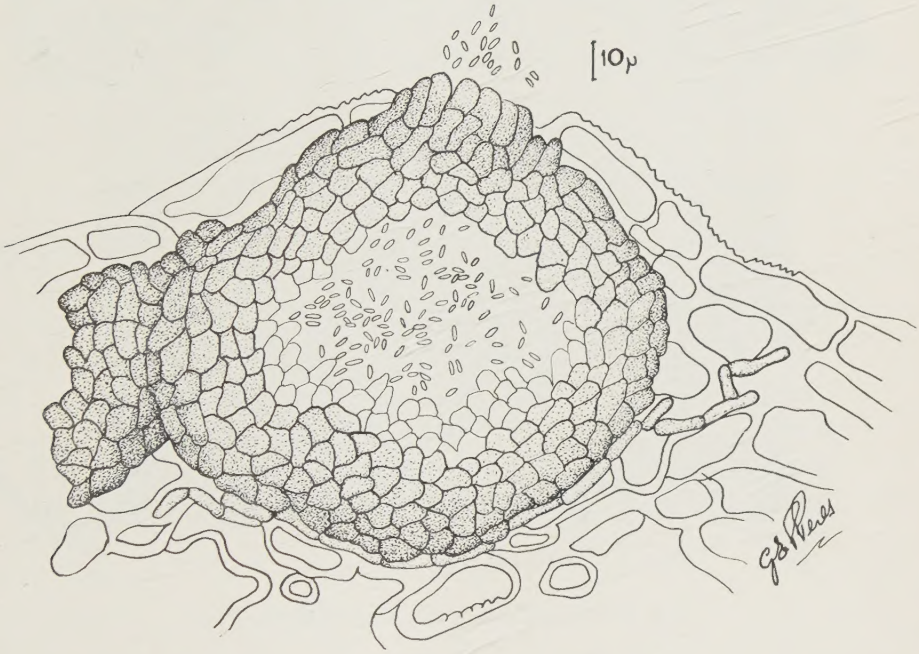

Fig. 2. — *Asteromella angelicae* (Sacc.) Moesz

Sôbre folhas de *Angelica silvestris* L., associado a *Fusicladium depressum* (B. & Br.) Sacc. e *Mycosphaerella* sp., Mátraháza, Hungria, 26.IX.1942 — Dr. G. Moesz. Espec. do Termeszettudomanyi Muzeum Novenytar, Hungria.

Asteromella astragalicola (Mass.) Petr.
Sin.: *Phyllosticta astragalicola* Mass.
in Syll. Fung., **10**: 128
Ann. Mycol., **21**: 300, 1923

Máculas anfígenas, de côr creme-olivácea, isoladas ou confluentes, de 0.5 mm ou efusas. Micélio livre ausente; micélio intramatrical mais ou menos abundante, quase sem ramificações, oliváceo-claro; hifas septadas, de 10.5-14 × 3.5-5 μ. Picnostromas anfígenos, marron-oliváceos,

imerso-irrompentes (fig. 3), subglobosos, 87.5-125 μ de diam.; paredes de 7-17.5 μ de diam., pseudoparenquimáticas, formadas por células irregulares de 3.5-10.5 × 5.7 μ de diam.; ostíolo quase ausente. Picnidiosporos oblongos, hialinos, contínuos, de polos rotundos, 3-4 × 1-1.5 μ.

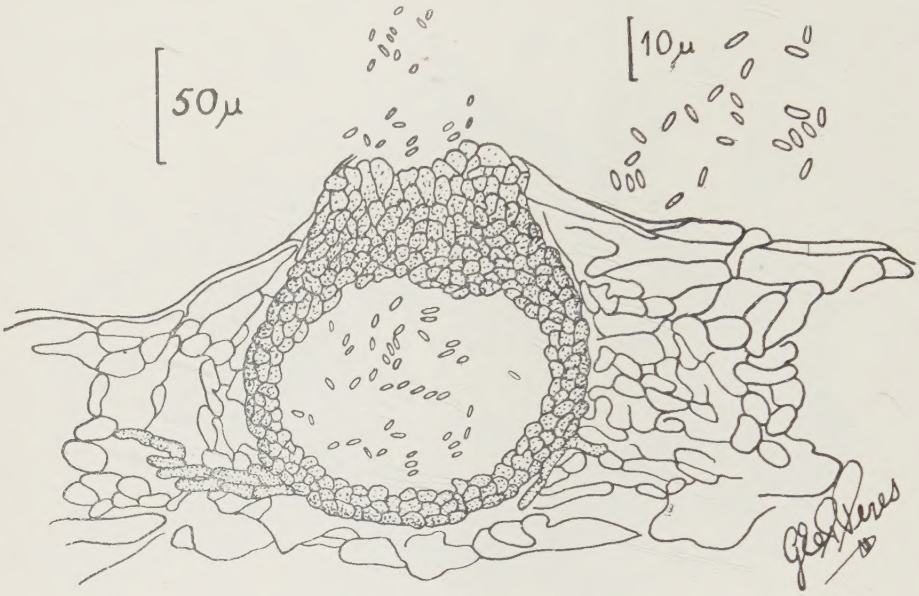

Fig. 3. — *Asteromella astragalicola* (Mass.) Petr.

Sôbre folhas de *Astragalus glycyphyllos* L., associado a *Septoria astragali* Desm. e *Uromyces astragali* (Opiz) Sacc., Matrahasa, Hungria, 16.IX.1940. Dr. Moesz. Espec. 17502, IMUR e no Termeszettudomanyi Novenytar Muzeum, Hungria.

Asteromella avicullariae (West.) Petr.
in Sydowia, vol. **10**: 1-6, 302, 1956
Sin.: *Melasmia avicullariae* West.
in Syll. Fung., **3**: 638, 1884
Phyllosticta melanoplaca West.
in Syll. Fung., **3**: 58, 1884

Máculas negras, efusas. Picnostromas imersos, anfígenos, numerosíssimos, densamente agregados (fig. 4), ou confluentes, marron-negros, subglobosos, punctiformes, 56-87.5 μ de diam., 68.5-101.5 μ de alt.;

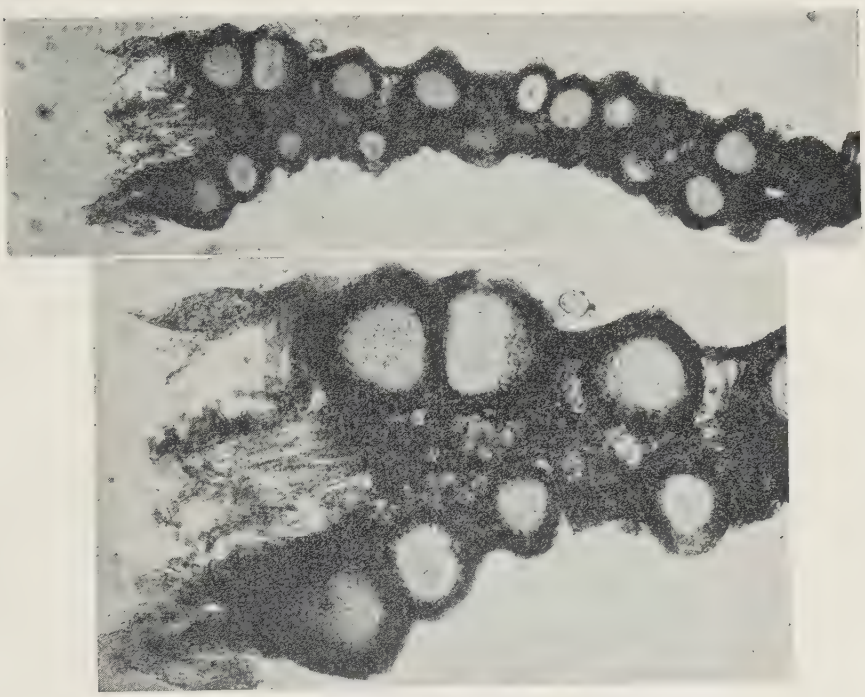

Fig. 4. — *Asteromella avicullariae* (West.) Petr.

Fig. 5. — *Asteromella avicullariae* (West.) Petr.
Picnidiosporos.

paredes de 7-14 μ de diam., pseudoparenquimáticas, formadas por 2-*X* camadas de células irregulares, de 3.5-7 $\times$ 3.5-5 μ; ostíolo mais ou menos definido, 10.5-12 μ de diam. Picnidiosporos cilindráceos, hialinos, contínuos, 3-5 $\times$ 1.5 μ (fig. 5).

Sôbre *Polygonum aviculare* L., Lettland, associado a *Darluca filum* (Biv.) Cast. e *Uredo polygoni* (Pers.) Fuckl., Riga, Dreilini, IX. 1940. Leg. J. Smarods.

Asteromella baldensis (C. Mass.) Petr.
Sin. *Phyllosticta baldensis* C. Mass.
in Conte, Mic. Ver.: 82, t. 1, f. 7
Syll. Fung., **10**: 126, 1892

Máculas anfígenas, marron-negras na face epífila e marron na face hipófila, isoladas, agrupadas ou confluentes, abundantíssimas. Micélio livre auseute. Micélio intramatrical, marron, escassamente rami-

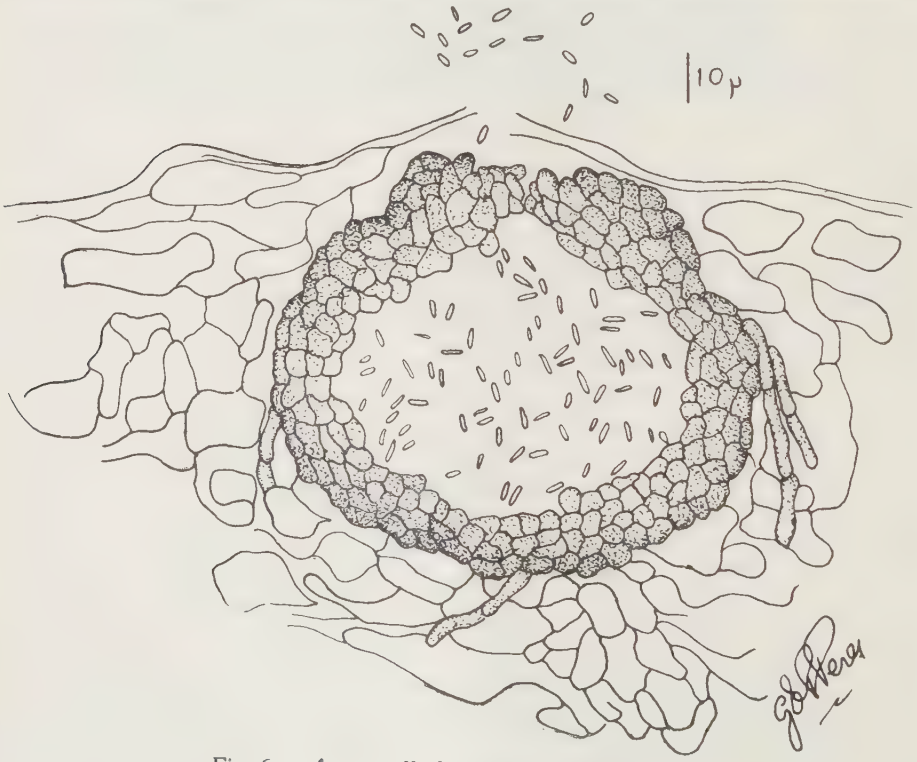

Fig. 6. — *Asteromella baldensis* (C. Mass.) Petr.

ficado, apresentando hifas septadas, com células de 9-14 × 3.5 — Picnostromas imersos, anfígenos (fig. 6), pequenos e numerosíssimos, marron-negros, subglobosos, 45.5-87.5 μ de diam., subpapilado, perfurandos a cutícula foliar; paredes de 7-14 μ de diam., pseudo-parenquimáticas e formadas por *X* camadas de células subrectangulares ou irregulares, 3.5-10.5 × 3.5-5 μ. Picnidiosporos contínuos, bacilares, hialinos, de polos obtusos, 2-5 × 1-1.5 μ.

Sôbre folhas de *Paeonia* sp., Thüringer, Garten, in Weimar, X.1943. Leg. J. Bornmüller. Espec. 17540, IMUR e 2001, ex F. Petrak, Mycotheca Generalis, no Termeszettudomanyi Muzeum Novenytar, Hungria.

Asteromella confusa (Bub.) Petr.
Sin.: *Phyllosticta confusa* Bub.
in Hedwigia, **57**: 339, 1916
Hedwigia, **65**: 253, 1925

Micélio livre e intramatrical ausentes. Máculas anfígenas de côr creme, irregularmente circulares, isoladas ou agrupadas, 2-7 mm de

Fig. 7. — *Asteromella confusa* (Bub.) Petr.

diam. Picnostromas epífilos, imersos, agrupados na parte central das máculas, subglobosos, marron-claros, 70-180 μ de diam.; ostíolo marron-escuro, até 15 μ de diam.; paredes pseudo-parenquimáticas, formadas por X camadas de células irregulares, de 3.5-6 $\times$ 3-4 μ. Picnidióforos bacilares, rectos, de polos rotundos, hialinos, contínuos 2-5 $\times$ 1.5-2 μ (fig. 7).

Sôbre folhas de *Chenopodium album* L., Letonia, Riga, 24.VII.1942, Leg. J. Smarods. Espec. 17487, IMUR e 1030, Termeszettudomanyi Muzeum Novenytar, Hungria.

Asteromella corcontica (Kab. & Bub.) Moesz

Máculas anfígenas, mal definidas, marron ou marron-oliváceas, isoladas ou agrupadas, de 1-13 mm de diam. Micélio livre ausente; micélio intramatrical inobservado. Picnostromas epífilos, imersos (fig. 8),

Fig. 8. — *Asteromella corcontica* (Kab. & Bub.) Moesz

marron, subglobosos, 52.5-90 μ de diam.; paredes pseudo-parenquimáticas, formadas por células irregulares, de 3-6.5 × 3-6 μ; ostíolo circular, 7 μ de diam., apresentando-se, em muitos casos, com uma papila hialina irrompente. Conidióforos inobservados. Picnidiosporos cilindráceos, hialinos, contínuos, mais ou menos abundantes, 3.5-5 × 1.5 μ.

Sôbre folhas de *Hieracium lachenalii*, Mátrahása, Hungria, 10.IX. 1940, Leg. Dr. Moesz, Espec. do Termeszettudomanyi Muzeum Novenytar, Hungria.

Asteromella drymariae Syd.
in Ann. Myc., **37**: 406, 1939

Máculas anfígenas, ocráceas, irregulares, marron, 2-8 μ de diam., isoladas ou subconfluentes, ocupando grande parte da superfície do

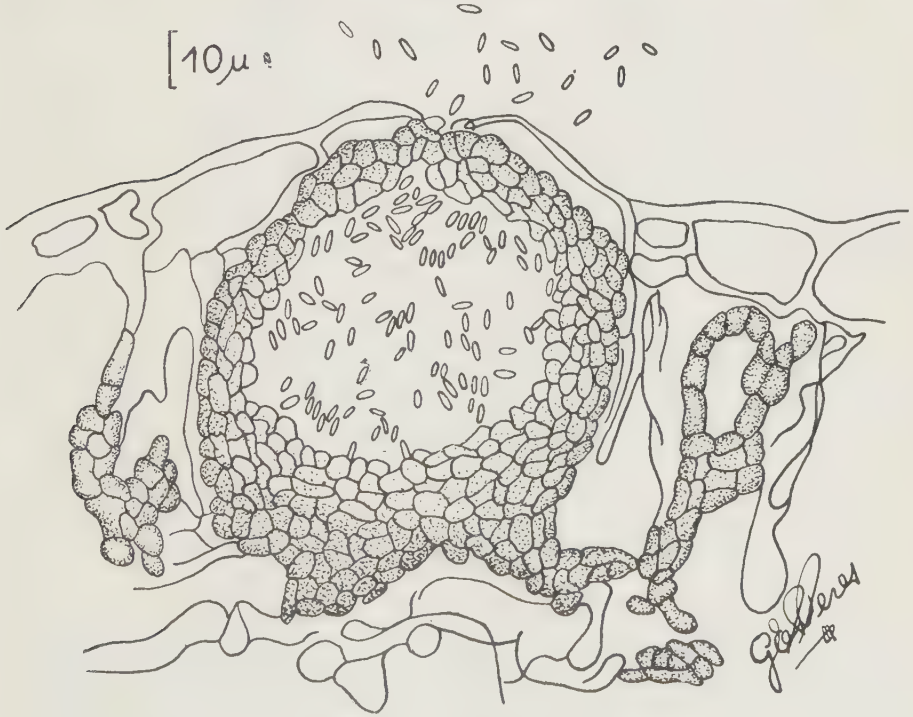

Fig. 9. — *Asteromella drymariae* Syd.

limbo foliar. Picnostromas numerosos, marron-oliváceos, anfígenos, imersos (fig. 9), subglobosos, 60-110 μ de diam.; ostíolo subpapiliforme, irrompendo à cutícula foliar; paredes de 7-8 μ de diam., pseudo-paren-

quimáticas, formadas por *X* camadas de células irregulares, de 3.5-5 × × 3.5 μ. Picnidiosporos numerosíssimos, bacilares, contínuos, hialinos, rectos, 1.5-3.5 × 0.5-0.8 μ.

Sôbre folhas de *Drymaria cordata* (L.) Willd., associado a *Mycosphaerella psammae* (Rostr.) Lind. var. *stromatica* Munk.—Hacienda Santo Antonio, pr. Baños, prov. Tungurahua, Equador, 31.XII.937. Leg. H. Sydow. Espec. 1216, ex Sydow, Fungi exotici exsiccati e 17511, IMUR.

Asteromella ebuli (Fuck.) Moesz
Sin.: *Phyllosticta ebuli* Fuck.
in Syll. Fung., **3**: 57, 1884

Máculas anfígenas, marron, confluentes, abrangendo quase todo o hospedeiro. Micélio livre ausente; micélio intramatrical escasso, marron-oliváceo, septado, 3 μ de diam. Picnostromas anfígenos, mais abundantes na região hipófila, imersos (fig. 10), marron, subglobosos, 57.5-87.5 μ de diam.; paredes membranosas, pseudo-parenquimáticas, de 7-12 μ de diam., formadas por *X* camadas de células irregulares, de 3-6 × 2-3.5 μ; ostíolo pouco distinto. Picnidióforos filiformes, de 13-21 × 3.5 μ. Picnidiosporos cilindráceos, contínuos, hialinos, 4-8.5 × 1.4 μ.

Sôbre folhas de *Sambucus ebulus* L., Matrahása, Moesz, associado a *Marsonia sambuci* E. Rostr. var. *major* Bat. & Peres n. var., 7.10.942, do Termeszettudomanyi Muzeum Novenytar, Hungria. Espec. 24191.

Asteromella galii-schultesii Moesz

Máculas anfígenas, marron, isoladas, 2-8 mm de diam., agrupadas ou confluentes. Micélio livre ausente; micélio intramatrical escasso, oliváceo, de hifas septadas, de 3 μ de diam. Picnostromas anfígenos, predominando, porém, na face hipófila, imersos (fig. 11), marron-oliváceos, subglobosos, 50-115.5 μ de diam.; ostíolo subelipsóide, de 14-17.5 μ de diam., às vezes perfurando a cutícula foliar; paredes de 9-14 μ de diam., membranosas, pseudo-parenquimáticas, formadas por 2-5 camadas

de células irregulares, de 3.5-6 × 3 μ. Conidióforos papiliformes, hialinos, septados, de 11-14 × 3 μ. Picnidiosporos cilindráceos, hialinos, contínuos, de polos obtusos, 3-7 × 0.7-1.4 μ.

Fig. 10. — *Asteromella ebuli* (Fuck.) Moesz

Sôbre folhas de *Galium schultesii* Vest., associado a *Puccinia galii* (Pers.) Schwein, Matrahása, Hungria, 19.IX.1941. Leg. Dr. Moesz. Revisado por A. C. Batista & G. E. P. Peres, em 31.XII.1959. Espec. do Termeszettudomanyi Muzeum Novenytar, Hungria. Também assina-

lado sôbre *Bougainvillea spectabilis* Willd — Recife, Pern. — Espec. 18590, IMUR.

Obs.: G. schultesii Vest. é igual a *G. aristatum* L.

Fig. 11. — *Asteromella galii-schultesii* Moesz

Asteromella helleboricola (C. Mass.) Moesz
in Sonder, Botanikay Kozlemenyek, **35**, Heft 1-2: 64, 1938
Sin.: *Phyllosticta helleboricola* C. Mass.
in Contribuzione alla Micologia Veronese: 81,
tab. I, fig. 4, 1889

Máculas anfígenas, brancas, contornadas de negro, abundantes, confluentes, alongadas, abrangendo quase tôda a superfície do hospedeiro. Micélio livre ausente; micélio intramatrical subialino, subramificado, septado; hifas de 2-3 μ de diam. Picnostromas imersos (fig. 12), epífilos, marron, subglobosos, 60-122.5 μ de diam., tendo paredes de 7-14 μ de diam., pseudo-parenquimáticas, formadas por 2-4 camadas de células irregulares, 3-4 × 2-3 μ; ostíolo inobservado. Conidióforos escas-

sos, papiliformes ou cilindráceos, hialinos, septados, 5-7 × 2 μ. Picnidiosporos bacilares, contínuos, hialinos, de polos obtusos, 3-7 × 1-1.5 μ, em massa, no lóculo picnidial.

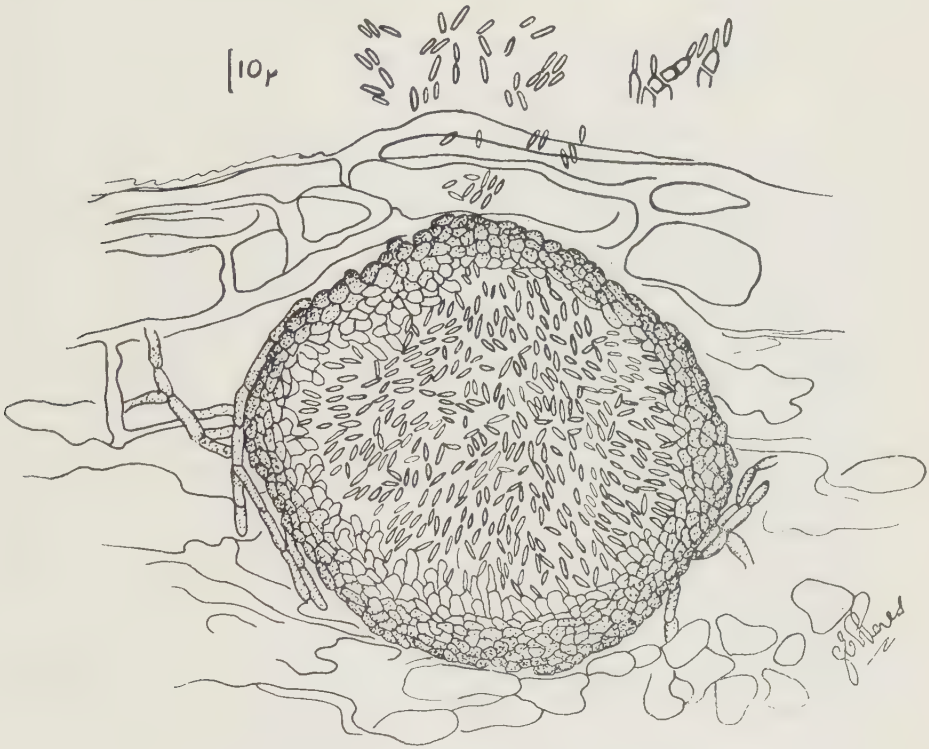

Fig. 12. — *Asteromella helleboricola* (C. Mass.) Moesz

Sôbre folhas de *Helleborus viridis* L., Montes Pirinéus, França, 9.936. Leg. Dr. G. Moesz. Espec. 17510, IMUR e também no Termeszettudomanyi Muzeum Novenytar, Hungria.

Asteromella inulae Petr.
in Sydowia, **1**: 134, 1947

Máculas anfígenas, marron-negras, subcirculares, elipsóides, isoladas, 1.5-20 mm de diam. Micélio livre e intramatrical ausentes. Picnostromas anfígenos, imersos (fig. 13), escassos, dispersos, marron-pálidos na região superior e subialinos na região basal, subglobosos, subovais e elipsóides, 70-150 μ de diam., 52.5-85 μ de alt.; ostíolo papiliforme,

indistinto; paredes 6-14 μ de diam., pseudoparenquimáticas, membranosas, formadas por células subrectangulares, 3-6 × 2-4 μ. Picnidiosporos bacilares ou cilindráceos, de polos obtusos, hialinos, contínuos, 1-gutulados, 3-6 × 1-1.5 μ.

Fig. 13. — *Asteromella inulae* Petr.

Sôbre folhas de *Inula hirta* L., Niederdonau, Hainburg, Hundsheirnerkogel, IX.1939 — Leg. F. Petrak, rev. por A. C. Batista & G. E. Peres. Espec. 1952, do Termeszettudomanyi Muzeum Novenytar, Hungria.

Asteromella muscorum (Rostr.) Moesz
in Fol. Cryptog. Zeitschr. zur Erforsch. Ungar.
Kryptflor., **1**: p. 1108
Sin.: *Phoma muscorum* E. Rostr.

Máculas inobservadas. Micélio livre, ausente; micélio intramatrical pouco abundante, marron-oliváceo, claro, pouco ramificado; hifas septadas, de 2-3.5 μ de diam. Picnostromas imersos (fig. 14), numerosos, epífilos, subglobosos, 70-135 μ de diam. e 60-85 μ de alt., alguns levemente rostrados, enegrecidos na região ostiolar; ostíolo subpapilado, de 9-14 μ de diam.; paredes membranosas, pseudoparenquimáticas, 7-14 μ de diam., formadas por *X* camadas de células irregulares, de 3-7 × 2-5 μ. Conidióforos inobservados. Picnidiosporos hialinos, cilindráceos, contínuos, de polos obtusos, numerosos, gutulados, 3-5 × 1.4-2 μ.

Sôbre cápsulas de *Orthotrichum almatum* Hosv. var. *montanum* Vent., associado a *Uredo* sp. I. Girorffy, do Termeszettudomanyi Muzeum Novenytar, Hungria, 26.7.937. Espec. 1275.

Fig. 14. — *Asteromella muscorum* (Rostr.) Moesz

Asteromella petasitidis Petr.
in Ann. Myc., **21**: 282, 1923

Máculas marron, anfígenas, confluentes, raramente isoladas, de 3-10 mm de diam. Micélio livre ausente e intramatrical inobservado. Picnostromas imersos (fig. 15), epífilos, agrupados, numerosos, marron-oliváceos, subglobosos, 45-70 μ de diam.; ostíolo subcircular, até 10.5 μ de diam., perfurando a cutícula; paredes de 4-7 μ de diam., pseudoparenquimáticas, formadas por *X* camadas de células irregulares, de 3.5-7 × 3-4 μ. Picnidiosporos bacilares, cilindráceos, contínuos, hialinos, 2-3 × 1-1.5 μ.

Sôbre folhas de *Petasites officinalis* Mähren, Mähr. — Weibkirchen, Hustopetsch, X. 1926. Leg. F. Petrak. Idem, Leg. E. Fahrendorff, 11.IX.938. Espec. do Termeszettudomanyi Muzeum Novenytar, Hungria.

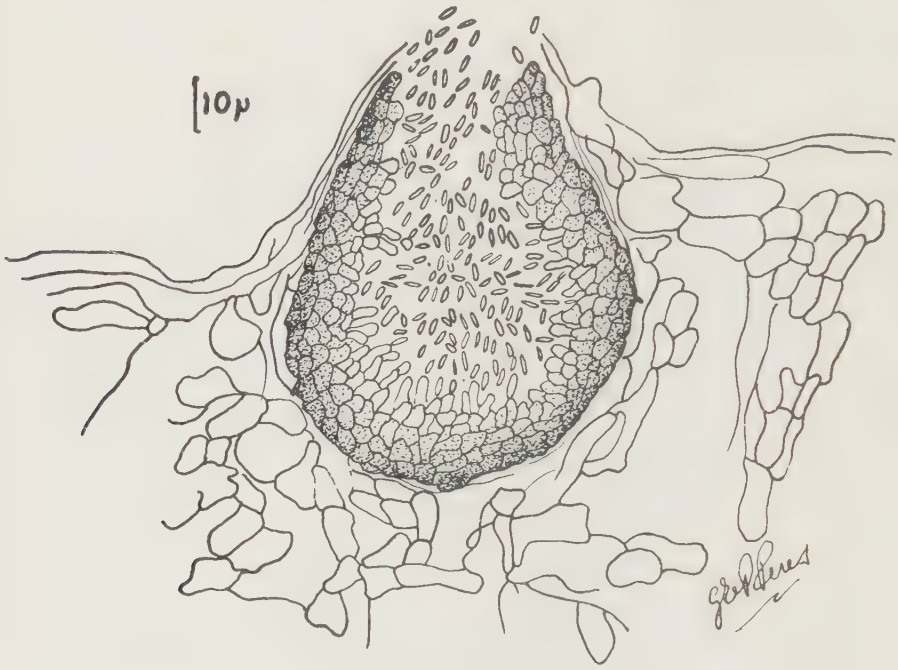

Fig. 15. — *Asteromella petasitidis* Petr.

Asteromella pivensis (Bub.) Moesz
Sin.: *Phyllosticta pivensis* Bub.
in Syll. Fung., **25**: 40, 1931

Máculas anfígenas, marron, isoladas, agrupadas ou confluentes, 2-15 mm de diam. Micélio livre ausente; micélio intramatrical escasso, septado, de hifas até 3.5 μ de diam. Picnostromas imersos (fig. 16), hipófilos, abundantíssimos, isolados, agrupados e subconfluentes, marron, subglobosos, 80-105 μ de diam. e 60-80.5 μ de alt.; paredes membranosas, pseudo-parenquimáticas, tendo células de 3.5-7 μ; ostíolo irregular, de 16-24.5 μ de diam. Picnidióforos inobservados. Picnidiosporos bacilares, cilindráceos, contínuos, hialinos, de polos obtusos, 3-5 × 0.7-1.4 μ.

Sôbre folhas de *Geranium phaeum* L., Keresteto, Hungria. Leg. Dr. Moesz, 19.X.939. Espec. 24204, do Termeszettudomanyi Muzeum Novenytar, Hungria.

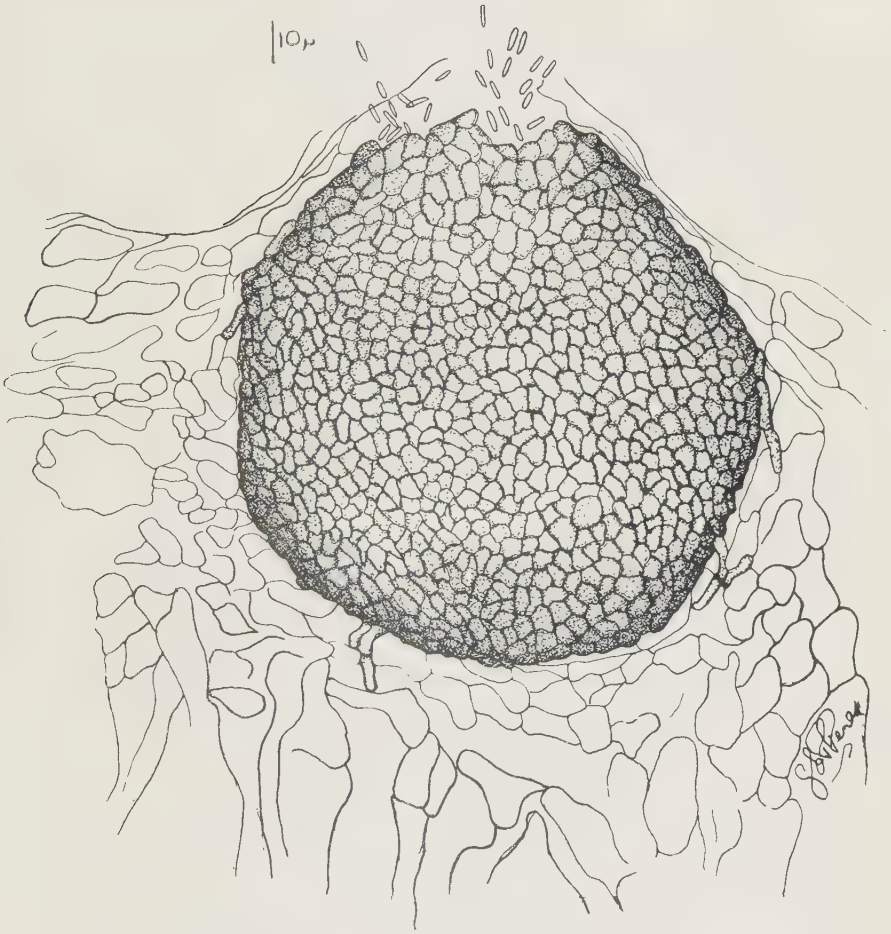

Fig. 16. — *Asteromella pivensis* (Bub.) Moesz

Asteromella pulmonariae Moesz

Máculas amarelo-escuras, de área central marron, anfígenas, mais acentuadas na região epífila do hospedeiro, isoladas, agregadas ou confluentes, subcirculares, de 2-5 mm de diam. Micélio livre ausente; micélio intramatrical escasso, marron-claro, suboliváceo, 2-3 μ de diam.

Picnostromas epífilos, imersos (fig. 17), isolados, agregados a subconfluentes, marron, subglobosos, de 50-87.5 μ de diam., 56-105 μ de alt.; paredes membranosas, pseudo-parenquimáticas, de 7-17.5 μ de diam.,

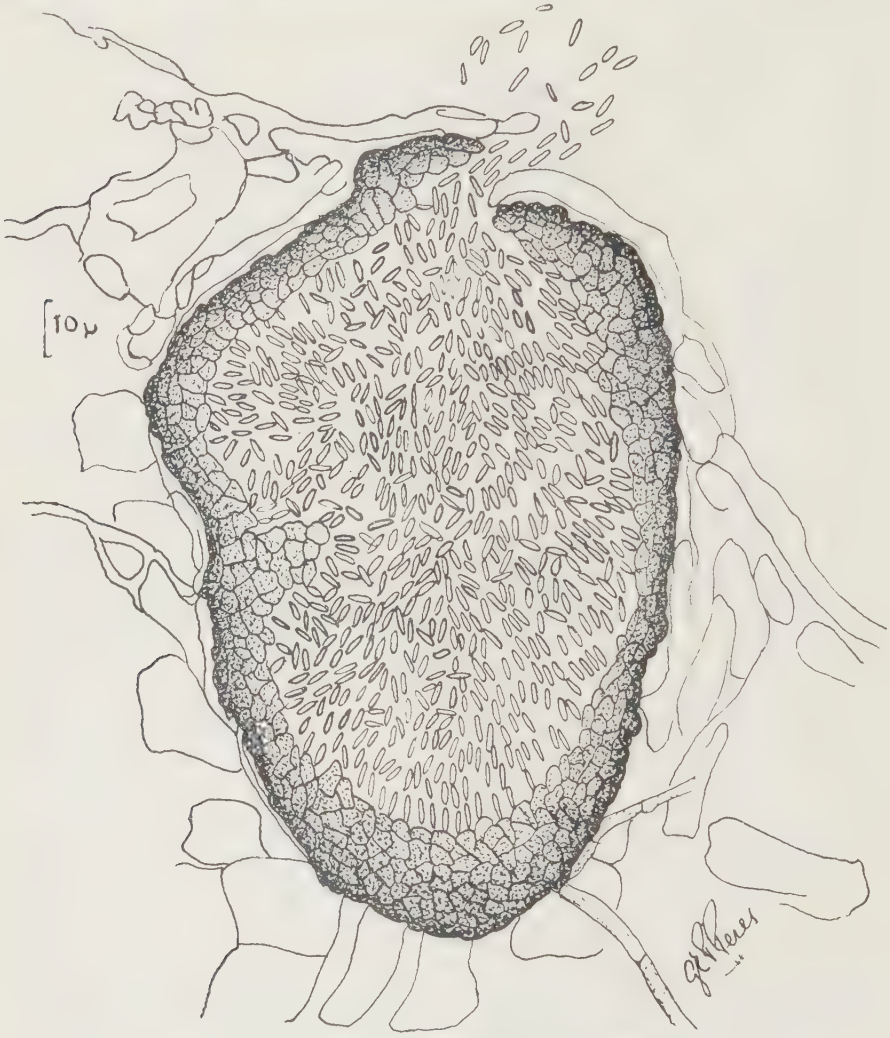

Fig. 17. — *Asteromella pulmonariae* Moesz

formadas por *X* camadas de células irregulares, de 3-7 × 2-4 μ; ostíolo de 17.5-20 μ de diam. Picnidióforos não observados. Picnidiosporos cilindráceos, de polos obtusos, contínuos, hialinos, 2-4 × 1.5 μ, em massa, no lóculo picnostromático.

Sôbre folhas de *Pulmonaria officinalis* L., Mátrahása, Hungria, 10.IX.940. Leg. Dr. Moesz. Espec. Termeszettudomanyi Muzeum Novenytar, Hungria.

Asteromella pyricola (Sacc. & Speg.) Moesz
Sin.: *Phyllosticta pyricola* Sacc. & Speg.
in Syll. Fung., **3**: 7, 1884

Máculas anfígenas, esclarecidas, de forma indefinida, 1.5-8 mm de extensão, isoladas ou confluentes. Micélio livre ausente; micélio intramatrical escasso, septado, tendo hifas de 2-3.5 μ de diam. Picnostromas

Fig. 18. — *Asteromella pyricola* (Sacc. & Speg.) Moesz

subcuticulares, marron-oliváceos, subglobosos (fig. 18), lenticulares, de 60-130 μ de diam., 45-80.5 μ de alt., ostiolados; paredes membranosas, pseudo-parenquimáticas, 7-12 μ de diam., formadas por *X* camadas de

células irregulares, de 3-6 × 3-5 μ. Conidióforos papiliformes, septados, hialinos, 10-14 × 2-3.5 μ. Picnidiosporos cilindráceo-bacilares, contínuos, hialinos, acropleurógenos, enchendo todo o lóculo picnostromático, 3-4 × 0.7-1.4 μ.

Sôbre folhas de *Pyrus communis* L., associado a *Septoria pyricola* Desm. e *Mycosphaerella* sp., M. Avala, pr. Belgrad, 20.X.940. Leg. V. Lindtner, det. Moesz.

Asteromella quercifolii C. Mass.

Máculas anfígenas, marron, isoladas, agrupadas ou confluentes, subelipsóides, até 3 cm de extensão. Micélio livre ausente e intramatrical inobservado. Picnostromas imersos (fig. 19), marron, isolados, agrupados

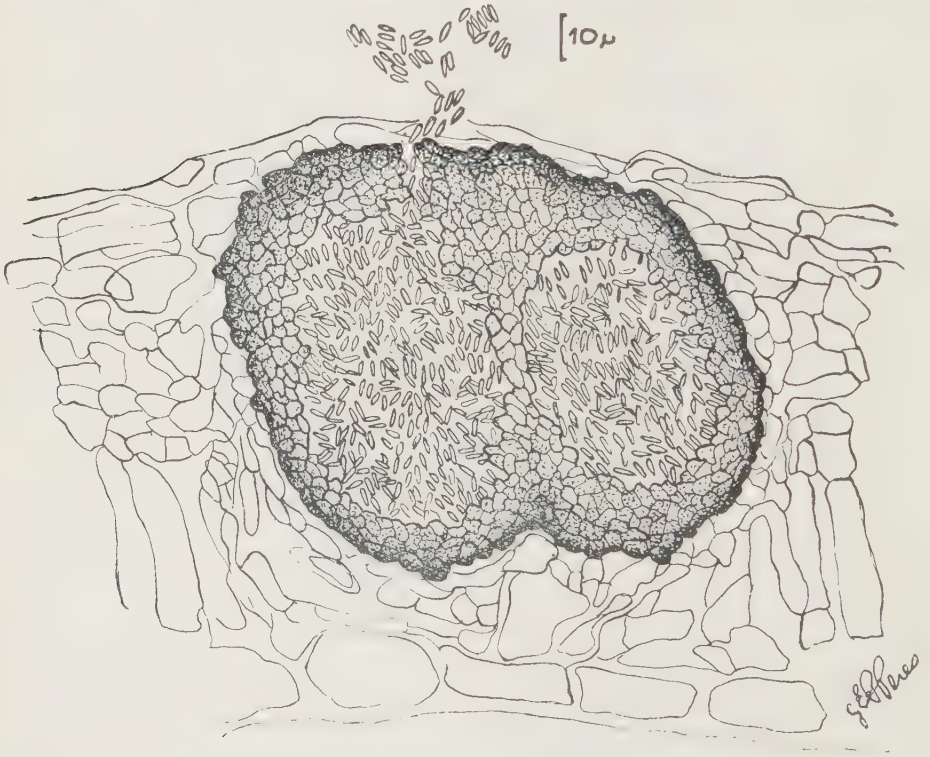

Fig. 19. — *Asteromella quercifolii* C. Mass.

e confluentes, subglobosos 45.5-98 μ de diam., 52-5-80 μ de alt.; paredes membranosas, pseudo-parenquimáticas, 7-14 μ de diam., formadas por *X* camadas de células irregulares, de 3-6 × 2-4 μ; ostíolo até 21 μ de diam.

Picnidióforos não observados. Picnidiosporos cilindráceos, bacilares, contínuos, hialinos, 2-4 × 0.7-1.4 μ, em massa, na cavidade picnostromática.

Sôbre folhas de *Quercus robur* L., associado a *Micropeltaceae imatura*, Letónia, pr. Vidzeme, distr. Valka, Jaunlaicene, 20.IX.938. Ex herbário J. Smarods. Leg. J. Smarods, det. Moesz. Espec. 24207, Termeszettudomanyi Muzeum Novenytar, Hungria.

Asteromella staphyleicola (Oud.) Petr.
in Ann. Mycol., **23**: 113, 1925

Máculas anfígenas, marron-claras, isoladas, agrupadas e subconfluentes, de 2-20 mm de diâm. Micélio livre ausente; micélio intramatrical

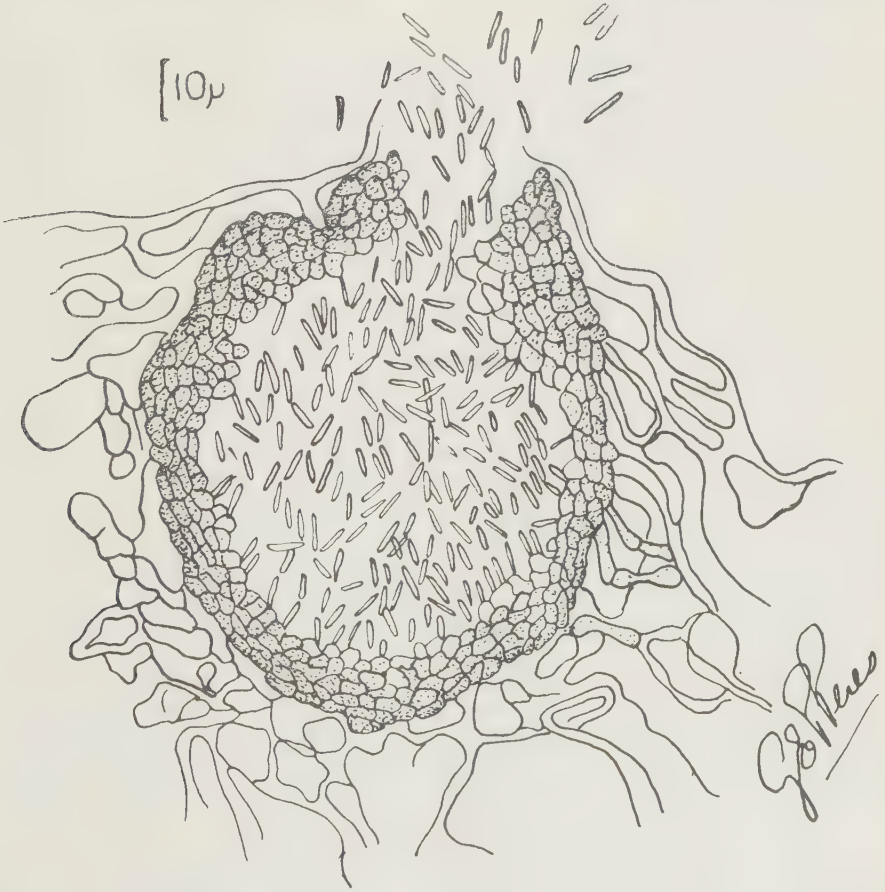

Fig. 20. — *Asteromella staphyleicola* (Oud.) Petr.

pouco abundante, subialino, septado; hifas até 3.5 μ de diam. Picnostromas anfígenos, mais abundantes os hipófilos, imersos (fig. 20), agrupados, marron-oliváceos, subglobosos, de 60-125 μ de diam.; ostíolo papiliforme, subcircular, de 17.5-35 μ de diam., perfurando a cutícula foliar; paredes membranosas, pseudo-parenquimáticas, de 7-10.5 μ de diam., formadas por 1-3 camadas de células irregulares, de 3.5-4 × 3 μ. Picnidiosporos cilindráceos, de polos obtusos, mais dilatados, hialinos, contínuos, de 3-7.5 × 0.7-1.4 μ.

Sôbre folhas de *Staphylea pinnata* L., Farkasvölgy, Budapest, Hungria, 10.X.1930. Leg. G. Moesz. Espec. do Termeszettudomanyi Muzeum Novenytar, Hungria. Rev. por A. C. Batista & G. E. P. Peres, em 28.XII.1959.

Obs.: Foram examinados, também, os espécimes 1404, da Mycotheca Generalis, de F. Petrak, 3438, do Museu de Hist. Nat. Vindobonensi e 24208, do Termeszettudomanyi Muzeum Novenytar, Hungria, todos sôbre o mesmo hospedeiro.

Asteromella velata Petr.
in Sydowia, **1**: 132, 1947

Picnídios subepidérmicos (fig. 21), irrompentes, situados em máculas pouco definidas ou sob estromas de *Melasmia acerina* Lév., escassos, anfígenos, subglobosos a subelipsóides, 50-150 μ de diam., de ostíolo papilado; paredes membranosas, pseudo-parenquimáticas, de 8.5-12 μ de diam., oliváceo-pálidas, formadas por *X* camadas de células irregulares, 2-3.5 × 1.4-3 μ. Picnidióforos inobservados. Picnidiosporos elipsóide-bacilares, de polos obtusos, rectos, contínuos, hialinos, 2-4.5 × 1-1.5 μ.

Sôbre folhas de *Acer platanoides* L., associado a *Ascochyta velata* Kab. & Bub. e *Melasmia acerina* Lév. Niederdonau, Hainburg, Hundsheimerkogel, IX.1940. Leg. F. Petrak. Espec. 18618, IMUR., 1709, F. Petrak, Mycotheca Generalis (parte do tipo).

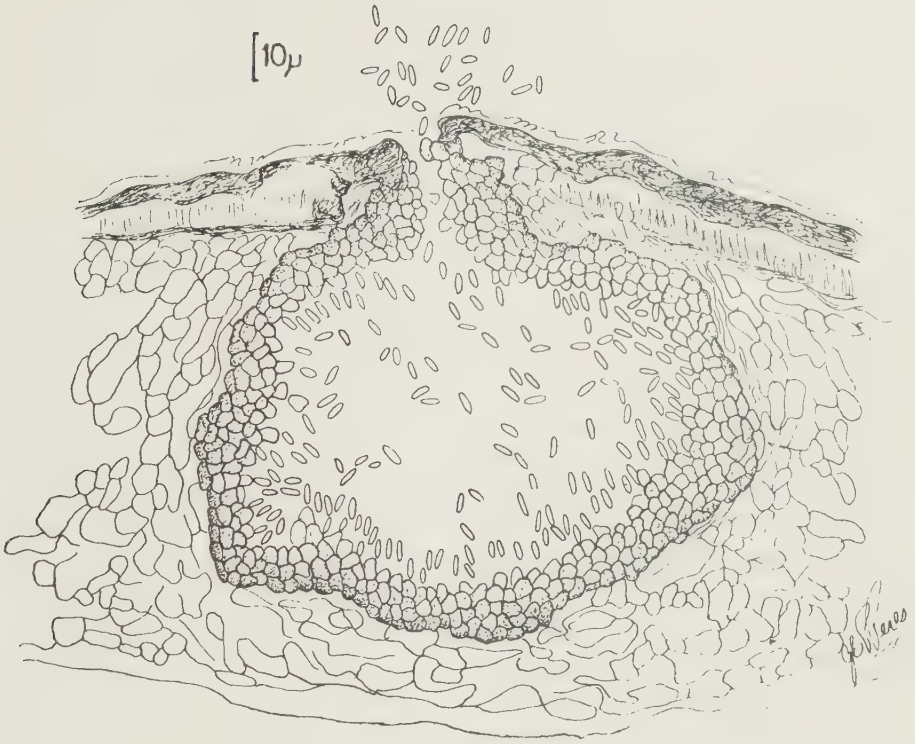

Fig. 21. — *Asteromella velata* Petr.

ABSTRACT

This paper gives continuation to the revision study of a series of taxa of genus *Asteromella* Pass. & Thüm. The species now seen are *Asteromella aesculicola* (Sacc.) Petrak on *Aesculus hypocastanum* L., *A. angelicae* (Sacc.) Moesz on *Angelica silvestris* L., *A. astragalicola* (Mass.) Petrak on *Astragalus glycyphyllos* L., *A. avicullariae* (West.) Petrak on *Polygonum aviculare* L., *A. baldensis* (C. Mass.) Petrak on *Paeonia* sp., *A. confusa* (Bub.) Petrak on *Chenopodium album* L., *A. corcontica* (Kab. & Bub.) Moesz on *Hieracium lachenalii, A. drymariae* Syd. on *Drymaria cordata* (L.) Willd., *A. ebuli* (Fuck.) Moesz on *Sambucus ebulus* L., *A. galli-schultesii* Moesz on *Galium aristatum* L., *A. helleboricola* (C. Mass.) Moesz on *Helleborus viridis* L., *A. inulae* Petrak on *Inula hirta* L., *A. muscorum* (Rostr.) Moesz on *Orthotrichum almatum* Hosv. var. *montanum* Vent., *A. petasitidis* Petrak on *Petasites*

officinalis Moench, *A. pivensis* (Bub.) Moesz on *Geranium phaeum* L., *A. pulmonariae* Moesz on *Pulmonaria officinalis* L., *A. pyricola* (Sacc. & Speg.) Moesz on *Pyrus communis* L., *A. quercifolii* C. Mass. on *Quercus robur* L., *A. staphyleicola* (Oud.) Petrak on *Staphylea pinnata* L., *A. velata* Petrak on *Acer platanoides* L.

ZUSAMMENFASSUNG

Diese Arbeit ist die Fortsetzung der Ueberarbeitungs-Studie einer Reihe von taxa der Art *Asteromella* Pass. & Thüm.

Die jetzt gezeigten Arten sind *Asteromella aesculicola* (Sacc.) Petrak auf *Aesculus hypocastonum* L., *A. angelicae* (Sacc.) Moesz auf *Angelica sylvestris* L., *A. astragalicola* (Mass.) Petrak auf *Astragalus glycyphyllos* L., *A. avicolariae* (West.) Petrak auf *Polygonum aviculare* L., *A. baldensis* (C. Mass.) Petrak auf *Paeonia* sp., *A. confusa* (Bub.) Petrak auf *Chenopodium album* L., *A. corcontica* (Kal. & Bub.) Moesz auf *Hieracium lachenalii, A. drymariae* Syd. auf *Drymaria cordata* (L.) Willd., *A. ebuli* (Fuck.) Moesz auf *Sambucus ebulus* L., *A. galli-schultesii* Moesz auf *Galium aristatum* L., *A. helleboricola* (C. Mass.) Moesz auf *Helleborus viridis* L., *A. inulae* Petrak auf *Inula hirta* L., *A. muscorum* (Rostr.) Moesz auf *Orthotrichum almatum* Hosv. var. *montanum* Vent., *A. petasitidis* Petrak auf *Petasites officinalis* Moench, *A. pivensis* (Bub.) Moesz auf *Geranium phaeum* L., *A. pulmonariae* Moesz auf *Pulmonaria officinalis* L., *A. quercifolii* C. Mass. auf *Quercus robur* L., *A. staphyleicola* (Oud.) Petrak auf *Staphylea pinnata* L., *A. velata* Petrak auf *Acer platanoides* L.